

019 (04) 12

IX-3331

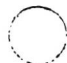
1893

Mg(OH)<sub>2</sub> (K), BaSO<sub>4</sub> (K) (K<sub>D</sub>)

Kohlrausch F., Rose F.,

Z. phys. Chem., 1893, 12, 234.

6



B.

IX-3914.

1903

$\text{C}_6\text{H}_5(\text{OH})_2(\text{P}-\text{P}, \text{H}_2\text{O})$  (K<sub>P</sub>)

Dupré D., jun., ~~and~~ Bialas J.,  
Z. angew. Chem., 1903, 16, 54



B

IX 1239

1908

 $\text{NH}_4\text{Cl}$ ; 2, (2). $\text{LiOH}$ ; kp,  $\sigma$  Hgcl,  
 $\text{CO}$ ; 2, (mesc. eccr) $\text{Mg}(\text{OH})_2$ ; kp,  $\sigma$  Mf; $\text{Sr}(\text{OH})_2$ ; kp,  $\sigma$  Hgcl; $\text{Sr CO}_3$ ; kp, Poliss.

Yokohama f.

Z. phys. Chem., 1908, 62, 330-58  
Eine 500. R. M. eetn d.c.

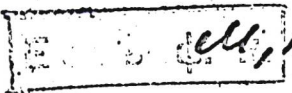
1908

Fl 1238

BaCO<sub>3</sub>; MgCO<sub>3</sub>; CaCO<sub>3</sub>; ap. (Pötts)  
Mg(OH)<sub>2</sub>; ap. ( $\Delta H_f$ ); Ba(OH)<sub>2</sub>; ap. (Solv,

Johnston J.,

Z. phys. Chem., 1908, 65, 737-43



circ 500

$\text{Mn}(\text{OH})_2$  (P-P,  $\text{MnCl}_2$ ) VII-5549 1913

$\text{Mg}(\text{OH})_2$  (P-P,  $\text{H}_2\text{O}$ ;  $\text{MgCl}_2$ ) ( $K_P$ )

Kullgren C.

Z. phys. Chem., 1913, 85, 466

5

O

B

1915

BGP IX-1450

Mg(OH)<sub>2</sub> ( $\Delta H_f$ )

Mixter W. O.

Amer. J. Sci. 1915, 40, 23-32

IX-3332

1923

Mg(OH)<sub>2</sub>(s), Ca(OH)<sub>2</sub>(s), Sr(OH)<sub>2</sub>(s), Ba(OH)<sub>2</sub>(s) (K<sub>2</sub>O)

Kolthoff I. M.

Rec. Trav. Chim., 1923, 42, 973



B.

IX - 3979

1924

ellg(OH)<sub>2</sub> (P-P, H<sub>2</sub>O) (K<sub>P</sub>)

Remy H., ~~and~~ Kuhlemann A.,  
Z. analyt. Chem., 1924, 65, 161

5



B

1925

VII-5442

Mn(OH)<sub>2</sub>

Algo(OH)<sub>2</sub> (P-P, H<sub>2</sub>O) (K<sub>P</sub>)

Britten H.T.S.,

J. Chem. Soc., 1925, 127, 2110

6

B

Mg(OH)<sub>2</sub>  
f.p H<sub>2</sub>O

B95-3229-IX 1925

(K<sub>P</sub>)

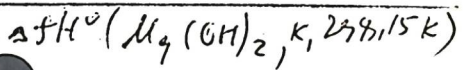
Z. anorg. Chem.  
1925, 144, 269'-89

Roth, W.A.; Chall, P.

1928

Equilibrium

Z. Electrochem., 1928, 34, 185



203

IX-3253

1929

Alg(OH)<sub>2</sub> (P-P, H<sub>2</sub>O) . (K<sub>P</sub>)

Kline W.D.,

J. Amer. Chem. Soc., 1929, 51, 2093



B

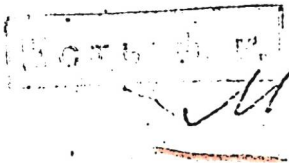
699 - IX. 1931

1932

Mg(OH)<sub>2</sub>; KP, (NH<sub>4</sub>)  
Büssen W., Kölnerick

Z. phys. Chem., 1932, 317, ~~315~~

310-326



Fricke R., Lüke J., 1935

Equivolt ME

Z. Electrochem., 1935, 41, 174

$\Delta fH^\circ(Mg(OH)_2, 10, 238, 15)$

205

V-750

1935

Mg(OH)<sub>2</sub>, CaO, Cr<sub>2</sub>O<sub>3</sub> (H<sub>T</sub>-H.)

Лашенко П.Н., Колматский Ю.И.

Ж. прикл. химии, 1935, 8, 628

Б



лест ф.к

Mg(OH)<sub>2</sub> BP-3078-IX 1937

Giauque W.F.

Archibald R.C.

(CP; S<sub>298</sub>) J. Amer. Chem. Soc.,  
1937, 59, 561.

IX-3973

1941

Mg(OH)<sub>2</sub> (p-p, H<sub>2</sub>O) (K<sub>P</sub>)

Nässänen R.,

Z. phys. Chem., 1941, 188, 272

5

Q

B

IX-3274

1942

$\text{CH}_3(\text{OH})_2 (\rho-\rho, \text{H}_2\text{O})$  ( $K_P$ )

Nässänen R.,

Z. phys. Chem., 1949, 190, 183



B

IX - 3256

1948

Mg(OH)<sub>2</sub> (P-P, H<sub>2</sub>O) (K<sub>P</sub>)

Krieger G. Y., and Arnold R.,

J. S. African Chem. Inst.,

1948, 1, 61

①

5

B

$Mg(OH)_2$  Bp-3289-I 1948

P-P H<sub>2</sub>O

Stock D.T.

Radios C.W.

(R<sub>P</sub>)

Trans. Faraday Soc.

1948, 44, 856 - 59

V 1194

1949

$\text{Ni(OH)}_2$ ,  $\text{Mg(OH)}_2$ ,  $\text{Co(OH)}_2$ ,  $\text{Mn(OH)}_2$ ,  $\text{Cd(OH)}_2$

Feithnecht W., Studer H.  
Kolloid-Z., 1949, 115, 13-22

Electron microscope investigation of the form  
and size of colloidal particles of metal hy-  
roxides.

CA., 1950, 44, 8199a

Ja.

F

IX-3165

1951

$\text{Mg}(\text{OH})_2 \cdot (\text{P-P}, \text{H}_2\text{O})$  ( $K_P$ )

Биокорадова Е. Н.

Труды Коллекционеров  
академической химии АН СССР,

1951, 3, 138



B

$Mg(OH)_2$  (P-P, H<sub>2</sub>O, KCl)

VII-5454 1952

$Mg(OH)_2$  (P-P, KCl) (K<sub>P</sub>)

Chaberek S., juu, Courtney R.C.,

~~and~~ Martell A.E.,

J. Amer. Chem. Soc., 1952, 74, 5057



B

БОР

IX - 2481

1953<sub>2</sub>

Mg(OH)<sub>2</sub>

Берг А.Т., Рассоусов

Изв. Сейшера физ.-хим.

академии, 1953, 22, 140-54

P(амн)

Периодический метод  
определения (Одновремен-  
ное определение)

IX-3990

1953

$\text{Cl}_3(\text{OH})_2 (\text{p}-\text{p}, \text{H}_2\text{O})$  ( $K_p$ )

Feitkuecht W.,

"Löslichkeiten von Hydroxycyclen";

Report July 1953 to Analytical  
Section, IUPAC

○

B

$Mg(OH)_2$

Δ Hguceas.,  
Tguceas.

Bp - 3804  
Bp - ~~3803~~ - IX

1954

Sabatier G.

Bull. Soc. frans mines  
et crystallogr. 1954,  
FF N4-6, 1077-83

1954

IX. 2569

Mg(OH)<sub>2</sub>, MgO (P)

Жаброва Г.М., Каденасев Б. Н.,

Ж. обн. химии, 1954, 24, № 1135-34

Б

Р.Х., 1955, № 12, 23244

Bp - 1955-56. 1956.

Mg(OH)<sub>2</sub>

Cabannes Ott. 6.

"C. T. Acad. Sci."

1956, 242, N 3,

355-57.

~~d = 0.25~~

1955-56  
France  
Greece  
(205)

IX 1844

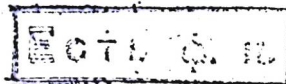
1956

$\text{BeO}$ ,  $\text{Be}(\text{OH})_2$  ( $P$ ,  $\Delta \text{H}_f^\circ$ ,  $\Delta F^\circ$ )

$\text{MgO}$ ,  $\text{Mg}(\text{OH})_2$  ( $P$ ,  $\Delta F^\circ$ )

Liley D.T., Murray P.,

J. Nuclear Energy 1956, 2, N<sup>o</sup> 3,  
202-12



M.B

8.X.1957, 22265

1957

Peru, Peru.

MgO

Mg(OH)<sub>2</sub>

Rox Della M., Roy Rustum.

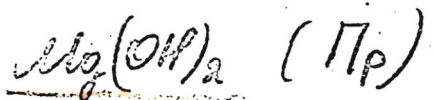
Amer. J. Sci., 1957, 255, No 8,  
574-583.

Табличные данные пакета-  
ций биокальциевого MgO-H<sub>2</sub>O и  
однотипные негидратные.

X- 58-14-45943

E.1202

1958



Ishizaka S., Terada M.,  
Nipps. Govt. Chem. Indust. Res. Inst.  
Tokyo, 1958, 53, N<sup>o</sup> 2, 401-408, 2d.

Res.

P.L. 1960, 21981

1559

 $Mg(OH)_2$ 

Kay E., Gregory N.W.

J. Ph. Ch., 1858, 62, 1073-83

Приложение зоогеографии Моря  
 Каспия к исследованию геологич.  
 предметов. Результаты изучения  
 Starkey.

Ph. O.

Мор Каспий,  
 Терпиг.

Некоторые

Файл

1958

Mg(OH)<sub>2</sub>

Tell. W.S.

Доктор. а. ф. Sci., 1958, 286,

N 10 729-732.

plain)

Рисунки из монографии  
доктора философии  
Г. Гусиной.

X-59-14-18-24

Лукьянова Н. Р. 1958

Mg(OH)<sub>2</sub> Укр. земл. эк., 1958, №  
№ 6, 578-585.

Спределение соединений  
разных фаз, различающихся  
моди с антикотину, в  
комплексе ~~присоединенных~~  
реакций между Al<sup>3+</sup>  
и Mg(OH)<sub>2</sub>.

X-59-18-63683

$Mg(OH)_2$

(Tb)

(m. guss. ch-bz)

0-400

Manuscript on file April 1960

Douglas T. B. Brackett (20)  
Preliminary Report  
on the Thermodynamic  
Properties of Selected  
Light-Element Compounds  
NBS Report 692.8

Washington, 1960.

1962

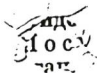
18 Б286. Некоторые наблюдения в системе MgO — H<sub>2</sub>O. Meyer J. W., Yang Julie Chi-Sun. Some observations in the system MgO — H<sub>2</sub>O. «Amer. J. Sci.», 1962, 260, № 9, 707—717 (англ.)

*Mg(OH)<sub>2</sub>*

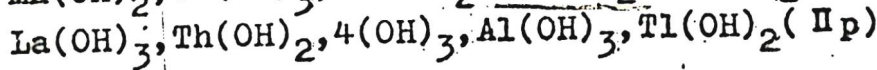
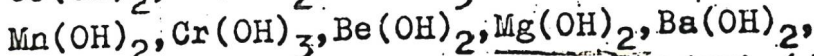
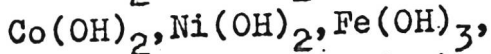
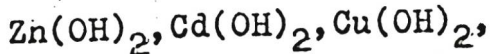
Повторены исследования р-ции дегидратации бруси-та (I) по р-ции I  $\rightleftharpoons$  периклаз + H<sub>2</sub>O при высоких дав-лениях и т-рах. Исследования выполнены с образцами I различного происхождения. Образцы помещали в контейнерах из золотой фольги в автоклав с наруж-ным обогревом. Закалку производили как путем рез-кого снижения т-ры, так и давления. Закаленные образцы изучали методом рентгеновского и петрограф-ич. анализов. Результаты исследования показывают, что кривая дегидратации I (в координатах  $P - T$ ), полученная при температурной закалке образцов хорошо совпадающая с кривой, построенной другими исследователями (РЖХим, 1958, № 14, 45943), при давл.  $> 350$  ат не накладывается на кривую регидра-ции периклаза, построенную по результатам закалки снижением давления и совпадающую с полученной ранее кривой (РЖХим, 1957, № 17, 57031). Последняя располагается на  $\sim 40^\circ$  ниже кривой дегидратации I.

X. 1963. 18

Сдвиг кривых дегидратации и регидратации связывается с образованием промежуточной фазы, имеющей деформированную решетку. Фаза с деформированной решеткой гидратируется быстрее. Размер зерен образцов мало влияет на кинетику превращения. И. М.



1969  
БР- VI-3709



Егоров А.М., Одинец З.К.

Сб. трудов Гос.НИИ цветы.металлов, 1962,  
№ 19, 308-13.

RM., 1963, 3A53

Ja

1963

B9-1767-IX

Mg(OH)<sub>2</sub> $\Delta G_f^\circ$  $\Delta H_s$ 

Transpiration study of magnesium oxide. C. A. Alexander, J. S. Ogden, and A. Levy (Battelle Mem. Inst., Columbus, Ohio). *J. Chem. Phys.* 39(11), 3057-60(1963). Vapor ds. of Mg-bearing species over MgO were detd. by the transpiration method. The MgO reacted with water vapor present in the carrier gas to form gaseous Mg(OH)<sub>2</sub>. The standard free energy of formation in cal./mole is given for the range 1660-2010°K. by the equation  $\Delta G_f^\circ = -168,600 + 49.8T$  cal./mole. Under conditions where water vapor is minimized, a 2nd vaporization process becomes predominant. This process is the congruent sublimation of MgO. A 2nd-law treatment of these data indicates  $\Delta H_{298} = 142.5 \pm 3.3$  kcal./mole, while a third-law treatment yields  $145.1 \pm 0.1$  kcal./mole, a  ${}^1\Sigma$  ground state being used for MgO. The ground state for gaseous MgO would appear to be  $\Sigma$  and most likely  ${}^1\Sigma$ . A value of 93 kcal./mole was obtained for  $D_0$  for MgO based upon the 2nd- and 3rd-law treatment of the data.

RCJQ

C.A.1963.S9.13  
14603f

VII-5489

METHYLATION

1963

Me(OH)<sub>2</sub> (K), <sup>2</sup>g Me = Be, Ca, Mg, Mn (K<sub>p</sub>)

Feitknecht W., Schindler P.

Pure Appl. Chem., 1963, 6, 130

9



B

IX 2279

1963

Mg(OH)<sub>2</sub> ( $\Delta Z$ , Kr)

Hostettler P.B.

Amer. J. Sci., 1963, 261, N3, 238-258

M

ecuador

P.R.C. Xmas., 1964  
35646

Mg(OH)<sub>2</sub> BB-X-3260 1963

(P=P; Nace) Lewis D;

(P.) Acta Chem.

Scand., 1963, 17,  
1891

1963

Mg(OH)<sub>2</sub>

The stability and surface energy of brucite (magnesium hydroxide) in water at 25°C. Paul B. Hostetler (U.S. Geol. Surv., Menlo Park, Calif.). *Am. J. Sci.* 261, 238-58(1963). Standard temp. and pressure thermodynamic dissoen. consts. are  $10^{-11.15}$  and  $10^{-2.00}$  for, resp.,  $\text{Mg}(\text{OH})_{2(c)} = \text{Mg}_{(aq)}^{++} + 2\text{OH}_{(aq)}$  and  $\text{MgOH}_{(aq)}^+ = \text{Mg}_{(aq)}^{++} + \text{OH}_{(aq)}$ . Effect of brucite particle size on solv. was studied. Once diam. of 0001 faces exceeds 0.00015 cm., solv. decrease ceases. The data were used to evaluate published pressure-temp. curves of the system.

Jack J. Bulloff

C.A. 1963-59-6  
58449

Mg(OH)<sub>2</sub> (sol.)

YANAF

1965

T. q.s.

100 - 1000°K

$\text{Ba}(\text{ClO}_3)_2 \cdot \text{H}_2\text{O}$ ;  $\text{Mg}(\text{OH})_2$ ;  $\text{K}_2\text{SnCl}_6$ ; A-1700 1865

$\text{MgSO}_4 \cdot 5\text{H}_2\text{O}$ ;  $\text{MgSO}_4 \cdot 7\text{H}_2\text{O}$ ;  $\text{Mn}_2\text{O}_3 \cdot \text{H}_2\text{O}$ ;  $\text{K}_2\text{CuCl}_4 \cdot 2\text{H}_2\text{O}$ ;

$\text{K}_2\text{ZnCl}_4$ ;  $\text{KMg}(\text{SO}_4)_2 \cdot 6\text{H}_2\text{O}$ ;  $\text{KNi}(\text{SO}_4)_2 \cdot 6\text{H}_2\text{O}$ ;  $\text{K}_2\text{Zn}(\text{CN})_4$

$\text{K}_2\text{Zn}(\text{SO}_4)_2 \cdot 6\text{H}_2\text{O}$ ;  $\text{KCz}(\text{SO}_4)_2 \cdot 12\text{H}_2\text{O}$ ;  $\text{Rb}_2\text{CO}_3$ ;

$\text{Sz}(\text{NO}_3)_2$ ;  $\text{Na}_2\text{B}_4\text{O}_7 \cdot 10\text{H}_2\text{O}$ ;  $\text{NaPO}_3$ ; (CP)

KOPP H.,

Phil. Trans. Roy. Soc. (London), 1865, 155, 71.

Investigations of the specific heat of solid bodies.

5 ~~✓~~ - Oct 6 Q.K.

Kennu N° 584

A-2130

1965

Li, Na, NH<sub>3</sub>, Mg, Ba, Co /<sup>6</sup>Sa<sub>2</sub>, OH<sub>4</sub><sub>kg</sub>)  
Легировано и разложено)

Медиа Б.И., Ильинский Б.Б.,  
ЭнергоКомиссия, 1965, 1, №1, 1359-62

Д.К., 1966, 75804

В, ис стекло

М 1723

PbSO<sub>4</sub>, CaF<sub>2</sub>, SrSO<sub>4</sub>, BaF<sub>2</sub>, CaSO<sub>4</sub>, Ca(OH)<sub>2</sub>,

Mg(OH)<sub>2</sub>, CaCO<sub>3</sub>, BaCO<sub>3</sub>, BaSO<sub>4</sub> ( )

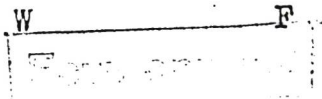
1966

Ходаковский И.Л., Мишин И.В., Жогин В.В.

Геохимия, 1966, № 7, 861-866

О температурной зависимости произведений растворимости и некоторых пределах химического состава гидротермальных растворов

РХ., 1967, № 814



$\text{Mg(OH)}_2 \text{ (c)}$

1867

YANAF Thermochemical Tables, II gen., 1867

$\text{Mg(OH)}_2$

Mitchell R. S.

1964

Z. kristallogr.  
125, 272

О монокристаллическом  
рентгенографическом  
исследовании  $\text{Ca(OH)}_2$ .



$[\text{Cu. Ca(OH)}_2] \text{I}$

1968

Mg(OH)<sub>2</sub>Ca(OH)<sub>2</sub>неприм.  
стаб.

+1

C.A. 1969. 40.4

16675e } Thermal stability of hydroxides. Freund, F. (Univ.Goettingen, Goettingen, Ger.). *Fortschr. Chem. Forsch.* 1968,  
10(2), 347-73 (Ger). A review of the dehydration of solid hy-  
droxides is given. Hydroxides are dehydrated in 2 steps: 1st,  
a H<sub>2</sub>O mol. forms from 2 OH ions, then the H<sub>2</sub>O mol. is desorbed.  
By applying the Lippincott-Schroeder theory of H bonding to  
this kind of dehydration reaction, the difference in thermal sta-  
bility between Mg(OH)<sub>2</sub> and Ca(OH)<sub>2</sub> can be explained. 53  
references.

A. Baidins



$MgCO_3$ ,  $Mg(OH)_2$  ( $K_p$ ) 9 IX 1968

Medz P., Graef M., Johannes W.

Neues Jahrb. Mineral., Monatsch.

1968 (1-2), 1-15. (Heft.)

thermodynamic calculation of  
equilibrium relations in the system  
magnesium oxide - carbon dioxide - water

N(1)

CA, 1968, 68, 514, 63149e

Mg OH<sup>+</sup>

(Koseem  
koseemeekop)

MgO · H<sub>2</sub>O

(Koseemasseer  
p-humate)

Morn g.

1969

Rader - Rundschau, vt,  
439.

(rec. Mg CO<sub>3</sub>)<sup>-</sup>

*Mg(OH)<sub>2</sub>*

1970

9 Б753. К термодинамике дегидратационных равновесий. Anderson G. M. Some thermodynamics of dehydration equilibria. «Amer. J. Sci.», 1970, 269, № 4, 392—401 (англ.)

Рассмотрено равновесие между минералом и продуктами его дегидратации с учетом изменения констант равновесия в зависимости от температуры и давления. Подчеркнута важность точного определения используемых стандартных состояний. Вычислены теплоты растворения дегидратации бруцита  $\text{Mg}(\text{OH})_2$  при давл. 2000 бар. Предложен метод вычисления термодинамически согласованных кривых дегидратации ( $T$ -ра —  $p\text{H}_2\text{O}$ ) по 2 точкам. Метод проиллюстрирован на растворениях дегидратации бруцита и мусковита.

А. Гузей

X. 1971. 9

Mg(OH)<sub>2</sub>

Halla F.

1970

[BP-3368 IX]

"Z. phys. Chem." (BRD)

SG<sub>aq</sub>

1970, 73, n 4-6, 268-276

(bp-pe CO<sub>2</sub>)



(Cer. MgCO<sub>3</sub>) I

1970

Mg / OH /  
2

23 Б780. Фазовые равновесия в системе  $MgO-H_2O$  при повышенных температурах и очень высоких давлениях. Yamaoka Shinobu, Fukunage O사무, Saito Shinroku. Phase equilibrium in the system  $MgO-H_2O$  at high temperatures and very high pressures. «J. Amer. Ceram. Soc.», 1970, 53, № 4, 179—181

(англ.)

Фазовые равновесия в системе  $MgO-H_2O$  изучены в области  $T-P$  500—1450° при давл. от 5 до 40 кбар с помощью исследования рентгеновских и микроскопич. методами закаленных образцов. Высокие давл. создавались в аппарате типа поршень — цилиндр с передающей средой тальк и пирофиллит. Линия перехода брусита  $Mg(OH)_2$  в периклаз и пары воды проходит через точки 810° и 10 кбар, 945° и 20 кбар, 975° и 40 кбар и 1000° и 32 кбар.

Л. В. Шведов

X. 1970. 23

$\text{Mg}(\text{OH})_2$  (0 Gf) 9 1971

Fisher J. R., Zen E-an  $\frac{1}{x} \frac{3351}{3121}$

Amer. J. Sci., 1971, 270, NY, 297-314 (auto)

Thermochemical calculation from  
hydrothermal phase equilibrium data  
and the free energy of  $\text{H}_2\text{O}$

PHL News, 1971

195765



IBM (p)

№ (014) 2 39 Р - 3121 1971

19 Б765. Термохимические расчеты на основе данных о гидротермальном равновесии и свободной энергии  $H_2O$ . Fisher James R., Zen E. an. Thermochemical calculations from hydrothermal phase equilibrium data and the free energy of  $H_2O$ . «Amer. J. Sci.», 1971, 270, № 4, 297—314 (англ.)

При равновесии свободная энергия Гиббса р-ции  $A = B + H_2O$  равна нулю. Поэтому знание термодинамич. характеристик одного из компонентов и  $H_2O$  при равновесных  $T$  и  $P$  позволяет рассчитать таковые для другого компонента. Необходимые для расчета значения  $G_{H_2O}^*$  ( $T_{равн}, P_{равн}$ ) =  $\Delta G^\circ$  (обр.,  $H_2O$ ) ( $T_{равн}, P = 1$  бар) +  $G_{H_2O}(T_{равн}, P_{равн}) - G_{H_2O}(T_{равн}, P =$

Х. 1971. 19

табулированы в интервале  $t$ -р 100—1000° (с шагом 20°) и давл. 100—10 000 бар (с шагом 100 бар). Для  $P=1$  бар .  $\Delta G$  (обр.,  $H_2O$ ) = —54742,19408 +  $+3,748898 t - 7,188621229 \cdot 10^{-5} t^2 + 1,259329484 t \ln t - 2097, 329\ 651 t^{-1}$ . Коэф. этого ур-ния, а также  $G_{II}$  о\* вычислены из лит. данных. В кач-ве примера рассчитано  $\Delta G$  (обр.,  $H_2O$ , 298) бруцита,  $Mg(OH)_2$ , из лит. данных по равновесию р-ции бруцит-периглаз- $H_2O$ , к-рая обратима при  $P_{равн}=1000 \pm 10$  бар и  $t_{равн}=604 \pm 3^\circ$ . Полученное значение  $-200\ 040 \pm 690$  кал/моль хорошо согласуется с калориметрическим  $-199\ 500 \pm 790$  кал/моль. Сонзмеримость погрешностей обоих значений подтверждает, что из точных данных гидротермального равновесия хорошо охарактеризованных фаз вместе с миним. кол-вом прочих термохим. данных (напр., энтропия по З-му закону) термодинамич. параметры одной или более тв. фаз могут быть вычислены с точностью, эквивалентной термохим. данным.

А. Гузей

Mo (OH)  
2

1971

103877y Thermochemical calculations from hydrothermal phase equilibrium data and the free energy of water. Fisher,

ΔGf James Russell; Zen, E. An (U.S. Geol. Surv., Washington, D.C.). *Amer. J. Sci.* 1971, 270(4), 298-315 (Eng). A method is proposed for calcn. of thermodynamic parameters of solid phases from hydrothermal equil. data. Gibbs free energy of water is tabulated for 100-1000° and 100-10,000 bars as calcd. from polythermal 1 atm free energy of formation of steam (R. A. Robie, D. R. Waldbaum, 1968), and polythermal, polybaric, volumetrically derived free energy of water (C. W. Burnham, et al., 1969). By using the proposed method on the data of H. L. Barnes and W. G. Ernst (1963), for the reaction  $Mg(OH)_2$  (brucite) = MgO (periclase) + water, the free energy of the formation of brucite at 298.15°K and 1 bar is -200,040 cal/mole.

Jack J. Bulloff

Ca. 1971. \$1.20.

$\text{Ni(OH)}_2$   
(Crystall)

100 - 1000 °K.

(1963)

JANAF  
T<sub>w</sub>gg

1981

Mg(OH)<sub>2</sub> (Cp, Ttr)  $\lambda \times 4309$  1971

Freund F., Sperling V.,

Therm. Anal., Proc. Int. Conf., 3rd,

1971 (Pub. 1972), 2, 381-92 (anul.)

Hydrogen bonding in magnesium hydroxide and its effect on specific heat and lattice expansion

5 (P)

CA, 1973, 78, N22, 141107n

Mg(OH)<sub>2</sub>

1971

З Б992. Электронографическое изучение дегидратации гидроокисей Mg(OH)<sub>2</sub>, Be(OH)<sub>2</sub> и Ca(OH)<sub>2</sub>. Крылов, О. В., Кушнерев, М. Я., Кирюшкин, В. В. «Изд. АН СССР. Сер. хим.», 1971, № 110, 2155—2160

дегидра-  
тация

Электронографическим методом изучена кинетика дегидратации гидроокисей Mg(OH)<sub>2</sub>, Be(OH)<sub>2</sub> и Ca(OH)<sub>2</sub>. Полученные данные не подтвердили механизма дегидратации Mg(OH)<sub>2</sub> через промежут. крист. фазу типа NiAs, о к-рой сообщали нек-рые авторы. Дегидратация Mg(OH)<sub>2</sub> происходит путем непрерывного взрывообразного превращения Mg(OH)<sub>2</sub> в кристаллики MgO конечного размера. Рост кристалликов MgO не лимитирует скорость процесса. Дегидратация Ca(OH)<sub>2</sub> и Be(OH)<sub>2</sub> проекает через две разделенные во времени фазы — образование и рост зародышей.

Резюме



(+1)

х, 1972, 3



Ca, Mg, Fe (силикаты), 9<sup>16</sup> | 1971

Альманасы, гидроокись, IX 3555  
Карбонаты (Mg, Ca, S, Cl)

Киреев В.И.

С. ин. Моск. инж.-студ. №-10,  
1971, №69, З-18.

Первозданские свободные силикаты и  
алюминиевые кальциты и некоторые  
другие соединения.

РИХИМ, 1972  
75795

20  
M, B (9)

Tugooorucu Al, Au, Bi, Cd, Co, Cr, Cu, Fe,  
Mg, Mn, Ni, Pb, Sn, Tl, Zn; Zr,  $\text{Al}_2\text{O}_3 \cdot 19\text{H}_2\text{O}$ ,  
 $\text{LiOH} \cdot \text{H}_2\text{O}$ ;  $\text{MoO}_3 \cdot \text{H}_2\text{O}$ ;  $\text{UO}_3 \cdot \text{H}_2\text{O}$ ;  $\text{UO}_3 \cdot 2\text{H}_2\text{O}$  ( $16\text{f}$ ,  $80\text{f}$ ) VII 6436

Le Van My,

C. z. Acad. sci., 1971, C273, N15, 855-58

MB

⑧

CA72

Mg(OH)

B90 X-3873

1871

MgH<sub>2</sub>

77434w Equilibrium potential-pH diagram for magnesium. Thermodynamic calculation assuming magnesium hydride intermediates. Perrault, Georges G. (Lab. Electrolyse, CNRS, Bellevue, Fr.). *C. R. Acad. Sci., Ser. C* 1971, 273(25), 1711-14 (Fr). Published data have been used to calc. the thermodynamic properties of systems contg. the various appropriate combinations of H<sub>2</sub>, H<sup>+</sup>, H<sup>-</sup>, OH<sup>-</sup>, H<sub>2</sub>O, Mg<sup>+2</sup>, Mg(OH)<sub>2</sub>, MgO, MgH, MgH<sub>2</sub> and Mg. The reaction MgH<sub>2</sub> + 2H<sub>2</sub>O = Mg(OH)<sub>2</sub> + 2H<sub>2</sub> with a ΔG of -77.7 kcal/mole is probably possible and should be verifiable with a Mg electrode in an appropriately designed expt.

S. Goldwasser

ΔG

C.A. 1972. 76-14

1972

Mg 10A) 2 (c, brucite)

H<sub>2</sub>-H<sub>2</sub>98, 2.98-730K

Ferrante M.J., E.G. King

6 T T, N15, amp. 39

1972



141107n Hydrogen bonding in magnesium hydroxide and its effect on specific heat and lattice expansion. Freund, F.; Sperling, V. (Mineral.-Petrogr. Inst., Univ. Koeln, Cologne, Ger.): *Therm. Anal., Proc. Int. Conf.*, 3rd 1971 (Pub. 1972), 2, 381-92 (Eng). Edited by Wiedemann, Hans G. Birkhaeuser: Basel, Switz. Thermal expansion and x-ray diffraction measurements show that, at temps. close to decompn., considerable contraction takes place in the lattice of Mg(OH)<sub>2</sub>. At these

temps. the sp. heat shows a sudden increase. These effects are owing to the interaction of OH groups of Mg(OH)<sub>2</sub> to form H bonds.

( $C_p$ ;  $T_{t_2}$ )

C.A. 1973. 78 N 22

alg(OH)<sub>2</sub>

1973

Barin Y. et al.

vol. I, p. 442

298-541

Coll. Ag F-J

5183-IX

1975

Mg(OH)<sub>2</sub>

6 Б763. Термодинамические данные для Mg(OH)<sub>2</sub>  
 (брюцит). King E. G., Ferrante M. J., Rank-  
 gatz L. B. Thermodynamic data for Mg(OH)<sub>2</sub> (brucite).  
 «Rept Invest. Bur Mines. U.S. Dep. Inter.», 1975, № 8041,  
 13 pp., ill. (англ.)

В калориметре смешения в интервале  $T$ - $p$  298—699 К измерены энталпии Mg(OH)<sub>2</sub> (брюцит) (I). Т-рная зависимость измеренных величин описана ур-нием ( $H_T^{\circ} - H_{298,15}^{\circ}$ ) ккал/моль =  $24,147 \cdot 10^{-3} T + 2,000 \cdot 10^{-6} T^2 + 6,110 \cdot 10^2 T^{-1} - 9,427$ . Указано, что полученные значения точнее, чем лит. данные. Рассчитаны станд. величины  $C_p^{\circ}$ ,  $S^{\circ}$  ( $H_T^{\circ} - H^{\circ}298$ ) ( $G^{\circ} - H^{\circ}298$ )/ $T$ , а также величины  $\Delta H^{\circ}$ ,  $\Delta G^{\circ}$  и  $\lg K$  образования I из элементов в интервале 298—900 К с шагом 25°. При 298,15 К значения  $C_p^{\circ}$ ,  $S^{\circ}$ ,  $\Delta H^{\circ}$  и  $\Delta G^{\circ}$  составили соотв. 18,47, 15,09 ккал/

 $H_T^{\circ} - H_{298}^{\circ}$  $C_p^{\circ}, S^{\circ}, \Delta H^{\circ} - H_{298}^{\circ}$  $\lg K, \Delta G^{\circ}, T$ 

X 1976 N 6

/моль·град,  $-221,10 \pm 0,2$  и  $-199,36 \pm 0,2$  ккал/моль.  
Для р-ции  $MgO$  (периклаз) +  $H_2O = I$  рассчитаны и табулированы в интервалах т-р  $25$ — $620^\circ$  с шагом  $20^\circ$  и давл.  $1$ — $10\,000$  бар с шагом  $100$  бар величины изобарно-изотермич. потенциалов.

Ж. Василенко

# Mg(OH)<sub>2</sub>

1975

104397q Thermodynamic data for magnesium hydroxide (brucite). King, E. G.; Ferrante, M. J.; Pankratz, L. B. (Albany Metall. Res. Cent., Bur. Mines, Albany, Oreg.). U. S., Bur. Mines, Rep. Invest. 1975, RI8041, 13 pp. (Eng).  
(46) Enthalpy increments were detd. for Mg(OH)<sub>2</sub> (brucite) at 298-900°K by the method of drop calorimetry. The enthalpy and entropy increments obtained were combined with the literature data to calc. abs. entropies, free energy functions, heats of formation and equil. consts. of formation at 298-900°K. By using published pressure-vol.-temp. data for water, a table of Gibbs energy changes was derived for the reaction MgO (periclase) + H<sub>2</sub>O = Mg(OH)<sub>2</sub> (brucite) as a function of pressure and temp.

C.A. 1975 83 N12

MgOH

(ΔGf°)

1975

66332e Magnesium oxide-silicon dioxide-carbon dioxide-water system. IV. Stability of the magnesium monohydride(+) ion from 10 to 90°. McGee, K. A.; Hostetler, P. B. (Dep. Geol., Univ. Missouri, Columbia, Mo.). *Am. J. Sci.* 1975, 275(3), 304-17 (Eng). Several values for the assocn. const. of the reaction  $Mg^{2+} + OH^- = MgOH^+$  have been reported in the literature for the limited temp. range of 18° to 30°. From both geochem. and industrial standpoints, data for higher temps. are needed. Exptl. detd. values for the thermodyn. assocn. const. over the temp. range of 10° to 90° ( $\log K_a$ ) are:  $2.18 \pm 0.0$ ,  $2.21 \pm 0.0$ ,  $2.29 \pm 0.0$ ,  $2.37 \pm 0.0$ ,  $2.445 \pm 0.0$ , and  $2.54 \pm 0.0$ , at 10°, 25°, 40°, 55°, 70°, and 90°, resp. The derived value for  $\Delta G^\circ_f, MgOH^+$  at 25° is  $-624.71 \text{ kJ mole}^{-1}$  ( $-149.31 \pm 0.0 \text{ kcal mole}^{-1}$ ). The assocn. const. at 25° indicates that the assocn. is somewhat weaker than previously thought. Anal. of the plethora of errors that may arise during the exptl. detn. of the assocn. const. indicates that the errors almost always tend toward increasing the assocn. const. over its true value. An attempt is made to account for these errors, and comparison of  $K_a$  at 25° with earlier values reported in the literature is consistent with this attempt.

P.A. 1975.83 N8

1975

MgOH

6 Б1066. Кинетика дегидратации талька. Ward J. Richard. Kinetics of talc dehydroxylation. «Thermo-chim. acta», 1975, 13, № 1, 7—14 (англ.)

Методом гравиметрич. анализа при т-рах 1100—1160°К изучен процесс термич. разл. чистого безводного порошкообразного талька. Показано, что кинетика р-ции описывается ур-нием  $W_t = W_\infty + (W_0 - W_\infty) \exp(-kt)$ , где  $W_t$  — масса талька ко времени  $t$ ,  $W_0$  — начальная и  $W_\infty$  — конечная масса талька,  $k$  — константа скорости. Энталпия активации составляет  $101 \pm 4$  ккал/моль и согласуется с энталпиею разл. MgOH до газ. Mg и газ. OH (97 ккал/моль), энтропия активации  $16 \pm 4$  кал/град·моль. Механизм р-ции предположительно включает разрыв связи Mg—OH и послед. миграцию ионов Mg. Наличие адсорбированной  $H_2O$  иска-жает результаты кинетич. измерений. Э. Г. Раков

(filter)

X/1976 N 6

1976



З Б398. Дефектная структура гексагональной симметрии в окиси магния. Freund F., Sperling V. A magnesium oxide defect structure of hexagonal symmetry. «Mater. Res. Bull.», 1976, 11, № 6, 621—629 (англ.)

Рентгенографически (метод порошка, высокотретий дифрактометр,  $\lambda\text{Cu}$ ) исследовано тепловое расширение  $\text{Mg(OH)}_2$  (I) при т-рах от комн. до  $470^\circ$ . При нагревании гексагон. I до  $250^\circ$  наблюдается монотонное возрастание обоих параметров решетки, в то время как в диапазоне  $250$ — $270^\circ$  параметр  $c$  испытывает резкое уменьшение, а увеличение параметра  $a$  прекращается. Показано, что при медленном нагревании в вакууме, в отличие от обычного процесса дегидратации I, сопровождающегося образованием кубич.  $\text{MgO}$ , гексагон. структура оказывается устойчивой вплоть до большой степени дегидратации. Структурная ф-ла остаточной фазы может быть записана как  $\text{Mg(OH)}_{2-x}\text{O}_x/\square_x/2$ , где  $x \rightarrow 2$  ( $\square$  — анионная вакансия). По изменению интенсивностей дифракц. максимумов определено смещение атомов из базисных плоскостей решетки промежут. фазы ( $\sim 0,75$  Å).

С. Ш. Шильштейн

Тер, крист.  
структур.

Х. 1977. № 3

# $Mg(OH)_2$ (кинетика дегидрат.) 1976

15 Б924. Явление рекристаллизации в процессе дегидратации гидроокиси магния. Freund F., Maittens R., Scheikh-ol-Eslami N. Recrystallization effect during the dehydration of magnesium hydroxide. «J. Therm. Anal.», 1975, 8, № 3, 525—529 (англ.; рез. франц., нем., рус.)

Исследована кинетика термич. дегидратации  $Mg(OH)_2$  в ультравысоком вакууме. Объектом исследования служили гексагон. пластинки высокочистых  $Mg(OH)_2$  и  $Mg(OD)_2$  (D — дейтерий) диам.  $<1$  мкм и толщиной  $\sim 0,1$  мкм. Образцы нагревали в вакууме  $10^{-10}$  мбар ступенчато (с остановками через  $25^\circ$  в течение 7 мин) и при линейном возрастании т-ры со скоростью 2 град/мин. Кинетику газовыделения контролировали с помощью масс-спектрометра. Установлено, что т-рные зависимости изменения массы образцов содержат ряд максимумов (при  $330$ ,  $460$  и  $570^\circ$ ). Зависимости сглаживаются при переходе от образцов массой ( $10$ — $100$ )  $\cdot 10^{-6}$  г к образцам массой ( $10$ — $100$ )  $\cdot 10^{-3}$  г, а после отжига образцов экстремумы становятся более резкими. Высказано предположение, что обнаруженное явле-

X, 1976, 15

ние обусловлено образованием поверхн. дефектного слоя по р-ции:  $Mg(OH)_2 \rightleftharpoons Mg(OH)_{2-x}O_x/2A_x/2 + x/2H_2O$ , где  $x \rightarrow 2$  и А — нейтр. анионная вакансия. На этой стадии кинетика процесса контролируется скоростью диффузии молекул  $H_2O$  через дефектный слой, и газовыделение замедляется. Затем в дефектном слое образуется кубич. фаза  $MgO$ , что сопровождается уменьшением объема на 50% и ведет к освобождению непротиводействовавших участков Пв  $Mg(OH)_2$ . В результате процесс вновь ускоряется. Чем меньше число граней кристаллов в образцах и чем мельче грани (чем меньше образцы), тем четче проявляется ритмичность газовыделения. Связь кинетики дегидратации с размером зерен обусловлена преимущественной дегидратацией вдоль базисных плоскостей (001) кристаллов  $Mg(OH)_2$ .

А. Е. Вольпян

по  
иссл  
п.

$\text{Mg} \text{OK}^{+}$   
 $\text{Mg}_2 \text{OK}^{3+}$

1976

Milic J. C. u ap.

Pyk. gev. & BUKULU  
✓ 4372 - 76 DEI?

(Kc)

- /all. Calc $\text{H}^+$ ; I)

*Mg(OH)<sub>2</sub>*

1976

12 Б789. Выделение водорода при термическом разложении гидроксида магния до оксида магния. M a g - tens R., G e n t s c h H., F r e u n d F. Hydrogen release during the thermal decomposition of magnesium hydroxide to magnetium oxide. «J. Catal.», 1976, 44, № 3, 366—372 (англ.)

Масс-спектрометрическим методом изучено термич. разл. Mg(OH)<sub>2</sub> (I), высокой чистоты (Fe<1, Ag<1, Ca<1, Cu ~1 млн. д.). Выделяющимися при термич. разл. I газами в зависимости от т-ры дегидратации были H<sub>2</sub>O, H<sub>2</sub> и атомарный О. Выделение водорода происходит вначале в интервале 300—600° (максим. выделение при 450°) за счет образования молекул H<sub>2</sub> в катионных вакансиях.  $2\text{OH}^- \rightleftharpoons 2\text{O}^- + \text{H}_2$ . Втор. выделение водорода наблюдается при 600—900° (максим. выделение при 750°) за счет диссоциации остаточных OH<sup>-</sup>-групп: OH<sup>-</sup> → O<sup>-</sup> + 1/2H<sub>2</sub>. Колич-во выделяющегося водорода составляет ~10<sup>19</sup>—10<sup>20</sup> молекул/г MgO. Эквивалентное кол-во атомарного О выделяется при 600—900°, по-видимому, за счет разл. O<sup>-</sup>:  $2\text{O}^- \rightarrow \text{O}^{2-} + \text{O}$ .

Л. Г. Титов

*термич.  
разложение*

X/1977 № 2

*Mg(OH)<sub>2</sub>*

З В4. Спекание окиси магния, полученной алко-  
ксидным методом. Yamaguchi Osamu, Tomami  
Hitoshi, Shimizu Kiyoshi. Sintering of magne-  
sium oxide prepared by alkoxy-method. «Chem. Lett.»,  
1976, № 8, 799—802 (англ.)

1976

Изучена спекаемость порошка MgO, полученного  
термич. разл. Mg(OH)<sub>2</sub>. Образец Mg(OH)<sub>2</sub> получен  
гидролизом Mg(OR)<sub>2</sub>, где R — изоамил. Дегидратация  
Mg(OH)<sub>2</sub> завершается при 440°, с повышением т-ры до  
930° образец теряет 3,45% веса в результате выделе-  
ния окклюдированных остатков ROH. Спеканием обож-

женных и спрессованных образцов MgO на воздухе  
при 1200 и 1300° приготовлены компактные образцы  
MgO с плотностью >96% от теор., что превышает  
плотность образцов MgO, полученных обжигом реак-  
тивной Mg(OH)<sub>2</sub>.

И. В. Никитин

X 1977 N 3

$Mg_7Si_5O_{22}(OH)_2$ ,  $Mg(OH)_2$ , ( $\Delta G_f$ ) 1976

$Mg_2SiO_4$ ,  $MgSiO_3$ ,  $Mg_3Si_2O_5(OH)_4$ ,  $Mg_3Si_4O_10(OH)_2$

Zen E.-An, Chernosky J. IX-5478

Amer. Miner., 1976, 61, NIT 12, 1156-1166 (aust)

Correlated free energy values of ~~authophyllite~~,  
~~brucite~~, ~~clinochrysotile~~, ~~enstatite~~, ~~forsterite~~,  
quartz and calc.

PHYSICAL, 1977

155881



M (P)

y peg. ec-76

~~МБСН Над~~ 1977

~~Мягкое 2~~

10 Б761. Исследование плавления гидрата окиси магния. «Муки дзайсицу кэнкюсё хохокусё», 1977, № 11, 43—51 (япон.)

10 Б762. Деп. О распространении звука в расплавленных солях. Сокольский Ю. М. Ленингр. и-и. и проект. ин-т основи. хим. пром-сти. Л., 1977. 8 с., библиогр. 18 назв. (Рукопись деп. в ОНИИТЭХИМ г. Черкассы 1 ноября 1977 г, № 1379/77 деп.).

На основе анализа лит. данных изучен механизм изменения скорости распространения звука в в-ве в момент его плавления. Систематизированы данные для большого числа неорг. в-в. Установлено, что при плавлении неорг. солей скорость звука изменяется скачкообразно в 1,2—2,2—3,6 раз, в зависимости от микрогетерогенности расплава.

Автореферат

Х. 1978, 110

$\text{Ca}(\text{OH})_2$

1977

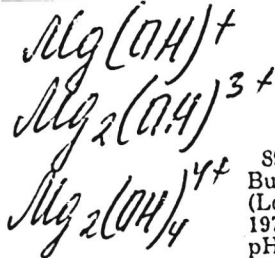
Sato Taichi

measured.  
pagone.

"Gyps. and Lime"

1977, N146, 25-31/en)

(crys  $\text{Ca}(\text{OH})_2$ ; I)



1978

S9: 80975x Hydrolysis of magnesium perchlorate at 25-140°.  
Burkov, K. A.; Bus'ko, E. A.; Garmash, L. A.; Khonin, G. V.  
(Leningr. Gos. Univ., Leningrad, USSR). *Zh. Neorg. Khim.*  
1978, 23(7), 1767-72 (Russ). Mg<sup>2+</sup> hydrolysis was studied by  
pH-metric titrn. at ionic strength 3 (NaClO<sub>4</sub>) and 25-140°.  
Formation consts. and thermodn. parameters are given for  
Mg(OH)<sup>+</sup>, Mg<sub>2</sub>(OH)<sup>3+</sup>, and Mg<sub>4</sub>(OH)<sup>4+</sup>.

(K<sub>f</sub>)

C.A. 1978, 89, 110

Mg(OH)<sub>2</sub>

(Krusz.)

m.guss. et ba

O-1000

Phase M.W., et al.

1978.

J. Phys. and Chem. Ref.

Data, 1978, T(3), 793-740

JANAF Thermodynamic  
Tables Supplement,

P-922

1978

Mg(OH)<sub>2</sub>

9 Б744. Экспериментальные исследования термического разложения брусита методом термосониметрии.  
 Lonvik Knut. An experimental investigation of the thermal decomposition of brucite by thermosonimetry  
 «Thermochim. acta», 1978, 27, № 1—3, 27—44 (англ.)

Itz

Приведены эксперим. результаты по термич. разл. брусита, Mg(OH)<sub>2</sub> (I), полученные методом термосониметрии (ТС). Исследовали порошок брусита, кристаллы брусита из Пенсильвании, минерал из Тироля и Швеции. Приведены сравнительные результаты ТС и ДТА методов. Так, для порошка I на кривой ДТА имеется только один размытый пик при 400°, в то время как на кривой ТС в этой области присутствует несколько четко разрешенных пиков. На кривой ТС образцы из Пенсильвании, кроме пиков при 400°, имеют пики в области 220—360°, что авторы связывают с расслоением чешуйчатой структуры тв. образцов. Образцы из Тироля и Швеции похожи и имеют на кривой ТС пики в р-не 400° в интервале ~30°. Авторы полагают, что активность ТС, вызванная дегидроксилированием образцов

2.10.79, 1/9

Mg(OH)<sub>2</sub> omnick 7081 978

46f, 4ff

P

(90)142409x Vaporization from magnesia in oxygen-water atmospheres. Maeda, Eizo; Sasamoto, Tadashi; Sata, Toshiyuki (Res. Lab. Eng. Mater., Tokyo Inst. Technol., Tokyo, Japan). *Yogyo Kyokai Shi* 1978, 86(10), 491-9 (Japan). Vapor pressures from MgO(s) in O<sub>2</sub>-H<sub>2</sub>O mixed atmospheres were measured at 1670 to 2000 K by means of the transpiration method using Pt-Rh alloy for both cell and condenser. Main species formed is Mg(OH)<sub>2</sub>(g) at  $2.7 \times 10^{-2}$   $\sim 1.87 \times 10^{-1}$  atm p<sub>H2O</sub> since slopes of the linear relation of log p<sub>MgX</sub> vs. p<sub>H2O</sub>  $\sim 1$ . For the reaction MgO(s) + H<sub>2</sub>O(g) = Mg(OH)<sub>2</sub>(g), log k<sub>p</sub> =  $-(14500 \pm 600)/T + (2.91 \pm 0.35)$ ,  $\Delta G_f^\circ(\text{Mg(OH)}_2, \text{ g}) = -(168400 \pm 3000) + (49.6 \pm 2).T$  and  $\Delta H_{298}^\circ(\text{Mg(OH)}_2, \text{ g}) = 65.4 \pm 0.6 \text{ kcal.mol}^{-1}$ . The reaction

MgO(s) = MgO(g) was carried out in an O atm. at 1825 to 1975 K, and the following values were obtained: log p<sub>MgO</sub> =  $-(30100 \pm 2300)/T + (8.82 \pm 2.56)\text{atm}$ ,  $\Delta G_f^\circ(\text{MgO}, \text{ g}) = -(37000 \pm 11000) + (8.6 \pm 1.1)T$  and  $\Delta H_{298}^\circ = 143.6 \pm 2.4 \text{ kcal.mol}^{-1}$ . Vapor pressures of Mg(g), MgO(g), MgOH(g), and Mg(OH)<sub>2</sub>(g) species present were calcd. and represented in the figures for the 4 series of p<sub>O2</sub> and p<sub>H2O</sub>.

C.A.1979,90,118

④3

MgO (46f, 4ff, P)  
Mg, MgOH (P)

omnick 70870

Mg(OH)<sub>2</sub>

1978

Tolmacheva T. R., et al.

(Egneus)

Tr. Mosk. Energ. In-ta. 1978,  
378, 41-6.

cell. Cu OH-I

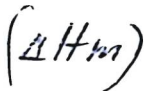
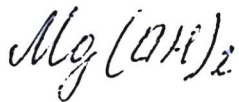
19 Б937. Процессы карбонизации, гидратации и плавления в системе  $MgO-H_2O-CO_2$  при давлениях до 100 кбар. Ellis David E., Wyllie Peter J. Carbonation, hydration, and melting relations in the system  $MgO-H_2O-CO_2$  at pressures up to 100 kbar. «Amer. Miner.», 1979, 64, № 1—2, 32—40 (англ.)

В системе  $MgO-H_2O-CO_2$  при давл. до 100 кбар и т-ре до  $2000^\circ$  в субсолидусной области наблюдается три типа процессов — гидратация, карбонизация и обмен  $CO_2$  и  $H_2O$ . С помощью эксперим. данных, полученных при высоких и низких давл., для субсолидусных р-ций  $Mg(OH)_2 \rightarrow MgO + H_2O$ ,  $MgCO_3 \rightarrow MgO + CO_2$  и  $MgCO_3 + H_2O \rightarrow Mg(OH)_2 + CO_2$  оценены величины  $\Delta H^\circ$  и  $\Delta S^\circ$ , составляющие соотв.: 18,4 ккал/моль и 33,16 э. е., 20,14 ккал/моль и 34,87 э. е. 1,74 ккал/моль и 1,71 э. е. Найдено, что  $MgCO_3$  плавится в инвариантной точке, расположенной при 23 кбар и  $1550^\circ$ , а  $Mg(OH)_2$  плавится в инвариантной точке — 58 кбар и  $1310^\circ$ . Система  $Mg(OH)_2 + MgCO_3 +$  + пар подвергается эвтектич. плавлению при давл. выше 46 кбар и т-ре  $1210^\circ$ . В состав эвтектич. расплава входит 73% мол.  $Mg(OH)_2$  и 27% мол.  $MgCO_3$ .

Б. Г. Кахан

*Mg(OH)<sub>2</sub> — MgCO<sub>3</sub> — MgO*  
*(Tm) — BP — MP*  
*29 — 17 — 1*  
*17*  
*2.1949, N14*

1979



20 Б940. Флуктуационный фазовый переход в гидроокисях вяжущих веществ. Радвинский Б. М. «Ж. физ. химии», 1979, 53, № 7, 1687—1689

Исследована устойчивость гидроокисей кальция и магния по отношению к тепловым колебаниям собственных крист. решеток. Термоплоты плавления гидроокисей  $Ca(OH)_2$  и  $Mg(OH)_2$  совпадают с энергией флуктуаций, что свидетельствует о нестабильности гидроокисей вяжущих веществ.

Резюме

②

Х. 1979, 1120

1980

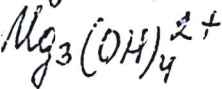
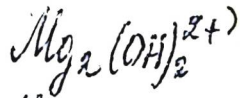


ЗБ896. Дегидратация Mg(OH)<sub>2</sub>. Тегаuchi H., Ohga T., Naono H. Dehydration of Mg(OH)<sub>2</sub>. «Solid State Commun.», 1980, 35, № 11, 895—897 (англ.)

*механизм  
дегидратации.*

С помощью рассеяния рентгеновских лучей изучен микроскопич. механизм дегидратации (Дг) Mg(OH)<sub>2</sub> (I). Пластинчатые образцы I толщиной 3—4 мм подвергали Дг в вакууме при 300° в течение 30—200 мин. Степень Дг определяли по потере массы образцов I. Представлена зависимость соотношения интенсивностей и соотношения ширины пиков в спектре отражения от величины  $x$  в образцах состава Mg(OH)<sub>2-2x</sub>O<sub>x</sub>. При  $x=0,68$  характеристич. пики для I исчезают. Л. Г. Титов

X. 1981 N3



(к с)

14 В34. Реакция гидролитического осаждения двухвалентного магния из водного раствора  $\text{NaNO}_3$ .  
E i n a g a H i s a h i k o . The hydrolytic precipitation reaction of  $\text{Mg}^{(2+)}$  from aqueous  $\text{NaNO}_3$  solution.  
«J. Inorg. and Nucl. Chem.», 1981, 43, № 2, 229—233  
(англ.)

В равновесных условиях при  $25^\circ\text{C}$  изучена р-ция гидролитич. осаждения  $\text{Mg}^{(2+)}$  из 1 М водн. р-ра  $\text{NaNO}_3$  методом потенциометрич. Тт свободного иона  $\text{H}^-$  Конц-ия  $\text{Mg}^{(2+)}$  в насыщ. р-ре определена комплексонометрически с эриохромом черн. Т, но в насыщ. над осадком гидроокиси магния р-ре установлено существование  $\text{Mg}^{2+}$ ,  $\text{Mg}_2(\text{OH})_2^{2+}$  (I),  $\text{Mg}_3(\text{OH})_4^{2+}$  (II) и  $\text{Mg}(\text{OH})_2$  (III). Определены константы устойчивости ( $\lg \beta$ ) I и II, равные соотв. —23,7 и —28,0, и константы р-римости I и II ( $\lg K$ ), равные соотв. —12,2 и —12,1. Предложена схема равновесия гидролитич. осаждения III. Предположено, по меньшей мере, три возможных способа осаждения III: образование III из гидратированного иона магния в р-ре с послед. выделением осадка; образование в р-ре I, переход его в III в р-ре и осаждение III; образование в р-ре II с послед. его переходом в III и осаждением.

М. А. Шелякина

1981

Ф. 1981. № 14

Mg(OH)<sub>2</sub>  
rays

[Ommec 12926]

1981

$\Delta H_f^\circ$   
298.15

Lowe B.R., et al.,  
J. Chem. Phys., 1981,  
75(7), 3325 - 3328.

Mg(OH)<sub>2</sub>

Lommel 12926 | 1981

Rowe B.R., et al.,

9

J. Chem. Phys., 1981,  
75(7), 3325-3328.

$Mg(OH)_2$

1982

У 7 Б943. Равновесие брусит-периклаз при пониженной активности  $H_2O$ : информация о системе  $H_2O-NaCl$ . The brucite-periclase equilibrium at reduced  $H_2O$  activities: some information about the system  $H_2O-NaCl$ . Franz G. «Amer. J. Sci.», 1982, 282, № 8, 1325—1339 (англ.)

Изучено влияние буфера  $H_2O-NaCl$  в р-рах на р-цию дегидратации брусита  $Mg(OH)_2$  (**I**)= $MgO + H_2O$ . Введение  $NaCl$  понижает  $a_{H_2O}$  вследствие гидратации  $NaCl$  в жидк. фазе. Метод исследования заключался в выдерживании **I** в р-ре  $NaCl$  в Pt или Au-ампулах при 1—2 кбар и 566—592° в течение 60—140 ч. с послед. закалкой и анализом после высушивания при 170°. Состав р-ра рассчитывался по известному содержанию  $NaCl$  и потере веса тв. фазы. Все опыты проведены при  $T > T$  крит. для  $H_2O-NaCl$ . Приведены фазовые соотношения и указаны поля **I+NaCl**, тв., **I+**

kp;

x. 1983, 19, № 7

$\frac{1}{2}\text{MgO} + \text{NaCl}$  р-р и  $\text{MgO} + \text{NaCl}$  р-р. Насыщ. р-р содержит 65 вес.%  $\text{NaCl}$  при  $590^\circ$  и 2 кбар. Для р-ции  $\text{I} = \text{MgO} + \text{H}_2\text{O}$   $\Delta G > 0$  ниже  $669^\circ$  при  $P = 2$  кбар, а для р-ции  $\text{NaCl}$  тв. =  $\text{NaCl}_{\text{aq}}$   $\Delta G < 0$ , и в целом для р-ции  $2\text{I} + \text{NaCl}$  тв. =  $2\text{MgO} + \text{NaCl}_{\text{aq}} + 2\text{H}_2\text{O}$   $\Delta G < 0$ . Выше  $590^\circ$  дегидратация I приводит к образованию насыщ. р-ра. Опытные данные по  $a_{\text{H}_2\text{O}}$  обработаны в предположении изменения числа гидратации  $\text{NaCl}$  при разных конц-иях р-ра. При  $X_{\text{H}_2\text{O}} > 0,95$  образуется комплекс  $\text{NaCl} \cdot (\text{H}_2\text{O})_6$ , а при более высоких содержаниях  $\text{NaCl} \cdot \text{H}_2\text{O}$  и  $(\text{NaCl})_2(\text{H}_2\text{O})_2$ .

Л. А. Резницкий

ме.

Mg(OH)<sub>2</sub>(x,w) 1982

Robinson G.R., et al.

U.S. Dep. Interior Geolog.  
Survey OPEN-File Re-  
port 83-79, 1982, p. 234.

200-1280K

m op

сборник № 4.1. Хогаковского

234

Mg(OH)<sub>2</sub>

1982

16Б875. Термическое разложение гидроксида магния. Sato Taichi, Ikoma Shuji, Ozawa Fusa ji, Nakamura Takato. «Сэкко то сэkkай, Sekko to sekai, Gyps and Linic», 1982, № 181, 285—289 (яп.; рез. англ.)

С помощью ДТА, ТГА, дифрактометрии и ИК-спектроскопии изучено термич. разл. Mg(OH)<sub>2</sub> (I). Образцы I получены из водн. р-ров солей магния (хлоридов, нитратов и сульфатов) осаждением щелочами при различных условиях. Установлено, что тер-

мич. разл. I протекает след. образом: I  $\xrightarrow{\sim 380^{\circ}\text{C}}$  MgO

(искаженная кубич. структура)  $\xrightarrow{\sim 600^{\circ}\text{C}}$  MgO (кубич.)

Резюме:

ж. 1983, 19, N 16

$Mg(OH)_2$

(брюсум)

parvum

no rur.

Bf; <sup>гематитом</sup>

Лон. 18233]

1983.

Киселева У.А., Дрого-  
гова И.Н.,

Доклад, 1983, № 12,  
1745 - 1755.

$Mg(OH)_2$

1983

1 2 Б3130. Растворимость и кинетика кристаллизации гидроокиси магния в условиях подогрева и кипения. Васина Л. Г., Гусева О. В., Колдаева И. Л., Горбунов А. В., Календарев Р. Н. «Науч. тр. Моск. энерг. ин-т», 1983, № 20, 24—30

Приведены эксперим. данные по исследованию р-римости и кинетике кристаллизации гидроокиси магния в условиях кипения и подогрева р-ров при т-рах 70—90° С. Показано влияние состава р-ра на р-римость  $Mg(OH)_2$ . Определены «кажущиеся» константы кристаллизации гидроокиси магния. Отмечено влияние сульфат-ионов на скорость кристаллизации, возрастающее с уменьшением пересыщения раствора.

Резюме

$K_c$

Х. 1985, 19, № 2.

$\text{Al}_2(\text{OH})_5$

Семёнов А.В.

1984

пермог. сб-фа,

1984;

Термохимический анализ  
установил образование  
боросиликатов и боратов  
калия и магния в  
этих же процессах.

Автореферат  
на соискание  
к.х.н., Москва, 1984.

диссертации  
ученой степени

$Mg(OH)_2$

1985

13 Б3092. Особенности разложения гидроксида магния в вакууме. Желоцкий Н. А., Касимов Г. Г., Макурин Ю. Н., Полежаев Ю. М. «Ж. неорг. химии», 1985, 30, № 3, 810—812

Исследовано разложение гидроксида магния в вакууме методами хемоэмиссии и масс спектрометрии, а также проведен анализ процесса дегидратации и вычислены крит. т-ры, соотв. разл. поверхн. слоев кристаллов и объемной дегидратации.

Резюме

X, 1985, 19, N 13.

$Mg(OH)_2$

1986

15 Б3114. Морфология MgO и термическое превращение  $Mg(OH)_2$ . MgO morphology and the thermal transformation of  $Mg(OH)_2$ . Moodie A. E., Warble C. E. «J. Cryst. Growth», 1986, 74, № 1, 89—100 (англ.)

Охарактеризованы два основных типа морфологии псевдоморфных оксидов, образующихся при термич. разл.  $Mg(OH)_2$ . При низком уровне электронного облучения или низких скоростях нагрева до т-ры 300° С хлопья гидроксида превращаются в листообразные агрегаты кубич. кристаллов, оси <111> к-рых располагаются нормально к Пв листа. Ребра кристаллов содержат 2—3 единичных ячейки, их ориентация варьирует на ~1°. Эта псевдоморфная модификация близка к «идеально несовершенному», или мозаичному кристаллу с точки зрения электронного рассеивания. При более высоких скоростях нагрева до 600° С морфология

термическое  
переходное

X. 1986, 19, N 15

продукта аналогична, но перв. структура разрушается по ребрам кубич. кристаллов с образованием преимущественной ориентации [111]. Высказано предположение, что в первом случае вода удаляется из кристаллов путем диффузии по узким нерегулярным каналам, параллельным основной Пв. Во втором случае накопление воды в крист. решетке происходит быстрее, чем удаление путем диффузии по каналам. А. Е. Вольпян

Om. 27427

1986

Mg(OH)<sub>2</sub> (K)

Müller F.; Praeser Ch.,

CFI/Ber. DKG, 1986, 63,  
N1-2, 21-28.

Ast,

$Mg(OH)_2$

от 23.3.71 1986

17 Б3034. Измерение энталпии разложения гидратов или карбонатов методом высокотемпературной калориметрии. Messung der Zersetzungsenthalpie von Hydraten oder Carbonaten durch Hochtemperaturkalorimetrie. Measuring the dissociation enthalpy of hydrates or carbonates by high-temperature calorimetry. Müller F., Praßer Ch. «CFI/Ber. DKG», 1986, 63, № 1—2, 21—28 (нем.; англ.)

Предложен прямой калориметрический метод определения энталпии диссоциации  $\Delta H$  в р-циях типа  $AX$  (тв.) =  $= A$  (тв.) +  $V$  (газ). Для р-ции  $Mg(OH)_2 = MgO + H_2O$   $\Delta H_{295} k = 82,33 \pm 4$  кДж, для р-ции  $Ca(OH)_2 = CaO + H_2O$   $\Delta H_{295} k = 108,84 \pm 2,5$  кДж, оба результата находятся в согласии с лит. данными, полученными традиц. методом р-рения в к-тах. Для р-ции  $CaCO_3 = CaO + CO_2$   $\Delta H = 170,5 \pm 2$  кДж при 1073 К, что также не противоречит справочным данным. Рентгенофазовый анализ подтвердил высокую степень кристалличности получающихся оксидов  $MgO$  и  $CaO$  и, следовательно, возможность использования прямого метода определения энталпий разложения для получения равновесных термодинамич. данных.

Л. А. Резницкий

12(42)

X.1986, 19, N17

*Mg(OH)<sub>2</sub>*

*1986*

) 4 Б3149. Кинетические параметры процесса осаждения гидроокиси магния в аммиачных средах. Parametrii cinetici ai procesului de precipitare a hidroxidului de magneziu în medii amoniacale. Pincovschi E., Patășcu E. «Rev. chim.» (RSR), 1986, 37, № 4, 308—312 (рум.; рез. рус., англ., нем., фр.)

Приведены условия получения крист. Mg(OH)<sub>2</sub> в аммиачной среде в стационарном режиме для нитратного варианта процесса кристаллизации. На основе ф-ции распределения, соотв. непрерывному кристаллизатору с совершенным перемешиванием, определены основные кинетич. параметры процесса: скорости зарождения и роста кристаллов, общий кинетич. порядок, частные кинетич. порядки, общие и частные кинетич. константы, оптим. время достижения стационарного режима при условии высокой степени превращения реагентов.

По резюме

*X. 1987, 19, N 4*

Mg(OH)<sub>2</sub>

1986

Погребная Т.Н., Сорокинец В.Р.,

Синтез и

и  
об-ва

Teor. и эксперим. химия,  
1986, 22, № 6, 799-824.



$Mg(OH)_2$

1988

10 В5. Синтез  $Mg(OH)_2$  гидролизом  $Mg(OMe)_2$  / Ishihara T., Amita K., Hashizume G. // Ниппон кагаку кайси = J. Chem. Soc. Jap., Chem. and Ind. Chem.— 1988. — № 10.— С. 1677—1683.— Яп.; рез. англ.

Показано, что  $Mg(OH)_2$ , образующийся при гидролизе  $Mg(OMe)_2$  под действием воды и вод. паров, образует гексагон. кристаллы или тонкие стеклообразные Пл соотв. Размеры кристаллов  $Mg(OH)_2$ ,  $D_{001}$  и  $D_{110}$  составляют 10 и 30 нм соотв. Предполагается, что механизм гидролиза  $Mg(OMe)_2$  в воде включает р-рение, обмен  $OMe^-$  на  $OH^-$  и послед. осаждение  $Mg(OH)_2$ . По резюме

сокр

ж. 1989, N 10

Mg(OH)<sub>2</sub>  
MgOH

1989

Chase M.W., Levin R.D.

Thermodynamic properties of  
the alkaline earth hydro-  
xides - A JANAF Case History.

6 Intern Conference on high  
temperature res, april 1989,

R.D./2A

Fairhersburg, USA; 2.2/2A

*Mg(OH)<sub>2</sub>*

*1989*

4 Б3065. Образование микропор (в процессе) термического разложения гидроксида магния. Micropore formation due to thermal decomposition of magnesium hydroxide: [Pap.] Int. Symp. Adsorpt., Kyoto, 12—15 June, 1988 / Naono H. // Colloids and Surfaces.— 1989.— 37.— С. 55—70.— Англ.

С помощью РФА, электронной микроскопии, определения Пв (метод ВЕТ) изучен процесс порообразования при нагревании в вакууме при 280—1000° С образцов синтетич. и природного Mg(OH)<sub>2</sub> (I). Показано, что в продуктах разл. при 400° С синтетич. микрокристаллов I наблюдается образование щелевидных микропор шириной ~1 нм, открытых в направлении (111) MgO. Степень разл. образцов синтетич. и природного I увеличивается от 10% при 280° С до 90% при 400° С; ширина щелевидных микропор составила 0,85±0,15 нм. Кроме указанных, в образцах имеются микропоры шириной <0,7 нм и «закрытые» микропоры. По результатам исследований предложена модель текстуры MgO. Обсужден также механизм термич. разл. I, приводящего к образованию пористой текстуры. Б. Г. Коршунов

*X. 1990, № 4*

$Mg(OH)_2$

(Kc)

X. 1991, N 8

1990

8 Б3015. Экспериментальное исследование химического равновесия в водных растворах нитрата магния и аммиака. Experimental investigation of chemical equilibrium in aqueous solutions of magnesium nitrate with ammonia / Hejtmánková J., Černý C., Bartovská L., Pável K. // Sb. VŠCHT Praze. N. — 1990. — № 10, С. 2. — С. 301—327. — Англ.; рез. чеш.

Исследование равновесия  $Mg(OH)_2$  (тв.) +  $2NH_4NO_3$ , (р-р) =  $Mg(NO_3)_2$ , р-р +  $2NH_4OH$  (р-р) выполнено статич. методом. Содержание Mg в р-ре определялось хим. анализом, в тв. фазе — весовым методом в широком интервале моляльностей компонентов. Табулированы термодинамич. константы равновесия р-ции осаждения  $Mg(OH)_2$  и коэф. активности при 25°С.

Л. А. Резницкий

*Mg(OH)<sub>2</sub>*

1991

) 652029. Изучение бруцита и гиббсита порошковой дифракцией нейтронов и зависимость структуры  $Mg(OD)_2$  от давления. Powder neutron-diffraction study of brucite and gibbsite and pressure dependence of the structure of  $Mg(OD)_2$  : [Pap.] 13th Eur. Crystallogr. Meet., Ljubljana, 25—30 Aug., 1991 /Catti M., Ferraris G., Hull S. //J. Kristallogr.—1991.—Suppl. № 4.—С. 316.—Англ.

Порошковой дифракцией нейтронов исследованы образцы  $Mg(OD)_2$  [ $D/(D+H)=0,8$ ] (I) при обычном давл. и 1 и 2 ГПа, природного  $Mg(OH)_2$  (II) и синтетич.  $Al(OH)_3$  (III) при обычном давл. Для уточнения использован ритвельдовский профильный анализ. Определены параметры решетки образцов I-III в указанных условиях и для I-II-длины основных связей ( $Mg—O$ ,  $O—O_{\text{октаэдрич}}$ ),  $O—H$ ,  $H...O$ ,  $O...O$ ,  $H...H$ ) и углов ( $O—H...O$ ). Определен объемный модуль упругости для I, 40 ГПа, хорошо сравнимый с аналогичным для  $Ca(OH)_2$ , 38 ГПа. Расстояния  $O—H$  и  $O...O$  показывают, что в I H-связи исчезают при  $p=2$  ГПа. Однако, в III найдено существование H-связей уже при комн. т-ре, и подтверждена их система, известная по рентгеноструктурным данным.

Ф. М. Спиридонов

(7) 18  
Х. 1994, № 6

Mg(DH)<sub>2</sub> (OM 35584) T991

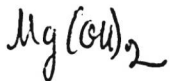
Zahradník R., Brážda O.,  
et al.

Collect. Czech. Chem. Commun.

(Ap, SH) 1991, 56, N4, 721-726.

Армическое  
районение

1993



17 Б3053. Термическое разложение брусита  $Mg(OH)_2$ : исследование методом ЯМР  $^{25}Mg$  с вращением под магнитным углом. Thermal decomposition of brucite,  $Mg(OH)_2$ : a  $^{25}Mg$  MAS NMR study /MacKenzie K. J. D., Meinhold R. H. //Thermochim. acta .— 1993 .— 230 .— С. 339—343 .— Англ.

Методом ЯМР  $^{25}Mg$  с вращением под магнитным углом исследовано термич. разложение брусита при нагревании от 300 до  $400^{\circ}C$ . Полученные спектры ЯМР  $^{25}Mg$  свидетельствуют о плавном превращении брусита в  $MgO$  без значит. образования промежуточных фаз и подтверждают модель последоват. роста  $MgO$  сначала в небольшие домены, к-рые затем сливаются в кристаллы.

В. Ф. Байбуз

X. 1994, N17.

$Mg(OH)_2$

1994

21 Б2064. Нейtronографическое исследование брусита  $Mg(OH)_2$  при высоком давлении: доказательство фазового превращения при 7 ГПа? Powder neutron diffraction study at high-pressure of  $Mg(OH)_2$  (brucite): evidence of a phase transition at 7 GPa? /Catti M., Ferraris G., Hull S., Pavese A. // [Pap.] Int. Conf. Powder Diffract. and Cryst. Chem., St. Petersburg, June 20—23, 1994 :Collec. Abstr.—St. Petersburg, 1994.—С. 67—68.—Англ.

Рентгенографически и нейtronографически изучено фазовое превращение брусита  $Mg(OH)_2$  (I) при высоком давл. в пределах  $\sim 7$  ГПа. Приложение высокого давл. ведет к сдвигу в структуре I в направлении плоскости (001) и искажению октаэдров  $Mg(OH)_6$  вдоль плоскости (001). При приложении давл. к I наблюдается изменение оси с на примерно 15%, а искажение связей в октаэдре обусловлено, прежде всего, изменением длины связей H...H.

И. С. Шаплыгин

X. 1994, № 21

*Mg(OH)<sub>2</sub>*

*1994*

I) 13 Б246. Структура и статическое сжатие Mg(OH)<sub>2</sub>,  
(брусит) до 11 ГПа: порошковое нейтронографическое,  
исследование. Structure and static compression of Mg(OH)<sub>2</sub>,  
(brusite) to 11 GPa: a powder neutron diffraction study /  
Gatti M., Ferraris G., Hull S., Pavese A. // 15th Eur.  
Crystallogr. Meet. (ECM-15), Dresden, 28 Aug. — 2 Sept.,  
1994: Book Abstr. — München , 1994 .— С. 614 .—  
Англ.

Нейтронографически (время-пролетный дифрактометр)  
изучен Mg(OH)<sub>2</sub>, при комнатном давл.: (I); • при высоком  
давл. до 10 ГПа (II), с калибрантом NaCl; при 6,6 и  
10,7 ГПа (III). Для II установлено  $K_0 = 39$  ГПа,  $K'_0 = 7,6$ ,  
значение с/а скачкообразно меняется в области 7 ГПа.  
Параметры решетки при 10<sup>-4</sup>, 6,6, 10,7 ГПа: а 3,14989,  
3,0833, 3,0473, с 4,7699, 4,4523, 4,3616 Å, Mg—O 2,1006,  
2,073, 2,072, O—H 0,920, 0,870, 0,0891, H...O' 2,522, 2,302,  
2,200, O...O' 3,228, 2,932, 2,795 Å, OHО' 133,86°, 129,4°,  
126,9°. При уточнении Ритвельда для I и III получены

*Структура*

*X. 1995, N 13*

значения  $R_w$  0,007, 0,020, 0,020. Тензор смещения для Н демонстрирует большую анизотропную компоненту, перпендикулярную оси с при нормальном давл., но при высоком давл. она становится почти изотропной с противоположным удлинением, что находится в соответствии с разрывом с/а. Образование Н-связей при высоком давл. затруднено из-за неблагоприятного угла ОНО'. Параллельное укорочение Н...О' и О—Н расстояний по-видимому не влияет на конфигурацию, соответствующую комнатной температуре.

Н. Л. Смирнова

Mg(OH)<sub>2</sub>

1994

13 Б25. Изучение Mg(OH)<sub>2</sub> (брюсит) при высоких давлениях порошковой дифракцией нейtronов: доказательство фазового перехода при 7 ГПа! Powder neutron diffraction study at high-pressure of Mg(OH)<sub>2</sub> (brucite): Evidences of a phase transition at 7 GPa? / Catt M., Ferraris G., Hull S., Pavese A. // Int. Conf. «Powder Diffraction and Cryst. Chem.», Saint-Petersburg, June 20—23, 1994: Collect. Abstr. — St. Petersburg, 1994 .— St. Petersburg , 1994 .— С. 67—68 .— Англ.

Тер, кристал.  
структур

Выполнено исследование поведения брусиата Mg(OH)<sub>2</sub> при высоких давлениях (вплоть до 10,7 ГПа) порошковой дифракцией нейtronов. Наиболее сильное сжатие наблюдается вдоль оси с (а 3,14989, с 4,7699 Å при обычном давлении и а 3,0473, с 4,3616 Å при 10,7 ГПа). Значение объемного модуля упругости составляет 41 ГПа. При 7

X. 1996, N 13.

ГПа зафиксировано положительное (ось а) и отрицательное (ось с) скачкообразное изменение параметров решетки. Наиболее нагляден разрыв зависимости с/а от давления. Сокращение оси с приводит к резким изменениям расстояний с участием атомов Н. При высоких давлениях Н-связи не становятся более предпочтительными, чем в структурах обычного давления. Найденный фазовый переход включает понижение симметрии кристалла от Р3м1 до Р321 или Р3 с последующим понижением симметрии атомных позиций.

Ф. М. Спиридонов

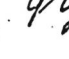
$\text{Ag(OH)}_2$

1994

Navrotsky A., Lapp R.P.  
et al.

SH

Amer. Miner. - 1994, 79,  
VII-12, C 1099-1109

Наличие  $\text{H}_2\text{O}$  и  $\text{CO}_2$  при изучении  
растрового микроскопа  с помощью  
энергетического  излучения  
РЭМ-X. №17, 1995, 17536

$Mg(OH)_2$

1995

24 Б244. Монокристальная рентгеновская дифракция брусита до 14 ГПа. Single-crystal X-ray diffraction of brucite to 14 GPa / Duffy T. S., Shu J., Mao H., Hemley R. J. // Phys. and Chem. Miner. — 1995. — 22, № 5. — С. 277—281. — Англ.

В ячейке с алмазной наковальней энергодисперсионной синхротронной дифракцией в квазигидравлической среде исследованы монокристаллы брусита  $Mg(OH)_2$  при давлениях до 14 ГПа. Выведены зависимости параметров решетки от давления: ось  $c$  сокращается с давлением заметно сильнее оси  $a$ . Определены параметры 3-го порядка уравнения Берга—Мернегена. Найденные значения объемного модуля упругости значительно меньше, чем полученные в негидростатических условиях. Не обнаружен переход с участием субструктур Mg—O. Это показывает, что в описанных ранее с помощью КР-спектроскопии структурных изменениях осуществляется перераспределение атомов H, не затрагивающее субструктуру Mg—O.

Ф. М. Спиридонов

( $\bar{F}_2$ )

X. 1996, N24

1996

F: Mg(OH)2

P: 1

ЗБ270. Межслоевые взаимодействия в Mg(OH)2. Нейтронно-дифракционное исследование Mg(OH)2. Interlayer interactions in Mg(OH)2. A neutron-diffraction study of Mg(OH)2 / Desgranges L., Calvarin G., Chevrier G. // Acta crystallogr. B. - 1996. - 52, febr. - C. 82-86. - Англ.

Проведен РСТА ('лямбда' 0,833 $\text{\AA}$ , Т 293 и 70 К, R 0,0242 и 0,0184 для 82 и 81 отражений соотв.) Mg(OH)2. Кристаллы тригон., а 3,148, с 4,779 $\text{\AA}$ , Z 1, ф. гр. Р 3. Для уточнения атома Н использована ангармоничная модель. Межслоевые межатомные расстояния О..О, Н..О и Н..Н в Mg(OH)2 и в ранее изученной структуре Ca(OH)2 практически совпадают. Обсуждается природа межслоевого взаимодействия в обоих структурах.

Mg(OH)<sub>2</sub>      Om. 40126      1999

F: Mg(OH)2

P: 1

ЗБ319. Теплоты образования оксидов и гидроксидов щелочных и щелочноземель металлов: некоторые поразительные неудачи метода G2. Heats of formation of alkali and alkaline earth oxides and hydroxides: Some dramatic failures of G2 method / Schulz Axel, Smith Brian J., Radom Leo // J. Phys. Chem. A. 1999. - 103, 37. - С. 7522-7527. - Англ.

$\Delta H_f$

Однако

Место хранения ГПТБ России С помощью неэмпирич. расчетов с использованием ряда методов, основанных на теории G2, определены структуры и теплоты образования оксидов и гидроксид щел. и щел.-зем. металлов ( $M_2O$ ,  $MOH$  с  $M=Li$ ,  $Na$  и  $K$ ;  $M'_{\cdot}O$ ,  $M'_{\cdot}(OH)_2$   $M'_{\cdot}=Be$ ,  $Mg$  и  $Ca$ ). найдено, что расчеты теплот образования некоторых из этих сильно

полярных соединений, проведенные на основе станд. теории G2, в ряд случаев дают значения с погрешностью более 100 кДж/моль. Обсуждены некото преобразования методов расчета, приводящие к уменьшению расхождений рассчитанных теплот образования с эксперим. данными. Показано, что структ определенные с использованием метода MP2/6-311+G(3df, 2p), хорошо согласу с имеющимися эксперим. данными. Сделан вывод, что определение надежных те образование с использованием методов расчета типа G2 для ионных молекул требует тщательного рассмотрения предела корреляц. пространства, обоснованности дополнит. предположений и использования базисного набора CCSD(T) вместо QCISD(T). Библ. 38.

---

Mg(OH)<sub>2</sub>

(Dn. 40126)

1949

Axel Schultz, Brian G.  
Smith et al.,

J. Phys. Chem. A1949,  
103, 7522-27

CMP-PA  
DFT  
ab initio  
polaron

Mg(OH)<sub>2</sub> = (OM. 41741) 2003

Michael B. et al.,

$\Delta_f H_{298,15}$  J. Phys. Chem., 2003,  
HDF, 5817-80